

УДК 538.945

©1995

# ВЛИЯНИЕ ДВОЙНЫХ ЗАМЕЩЕНИЙ НА ТРАНСПОРТНЫЕ СВОЙСТВА, СВЕРХПРОВОДИМОСТЬ И ЗОННЫЙ СПЕКТР В СИСТЕМЕ $\text{YBa}_2\text{Cu}_3\text{O}_y$

*Е.В. Владимирская, В.Э. Гасумянц, И.Б. Патрина*

Санкт-Петербургский государственный технический университет,  
195251, Санкт-Петербург, Россия  
(Поступила в Редакцию 27 октября 1994 г.)

Проведено исследование транспортных свойств керамических однофазных образцов систем  $\text{Y}_{1-x}\text{Ca}_x\text{Ba}_{1.5}\text{La}_{0.5}\text{Cu}_3\text{O}_y$  ( $x = 0 \div 0.5$ ) и  $\text{Y}_{1-x}\text{Ca}_x\text{Ba}_2\text{Cu}_{2.75}\text{Co}_{0.25}\text{O}_y$  ( $x = 0 \div 0.25$ ). Были исследованы температурные зависимости удельного сопротивления ( $\rho$ ) и коэффициента термоэдс ( $S$ ). Обнаружено, что с ростом содержания кальция происходит увеличение критической температуры, а также уменьшение абсолютных величин  $S$  и изменение вида зависимостей  $S(T)$ . Полученные результаты были интерпретированы на основе предложенной нами ранее феноменологической модели электронного транспорта в случае узкой проводящей зоны. Были определены значения основных параметров зонного спектра и системы носителей заряда и проанализированы их зависимости от содержания кальция. Сопоставление полученных результатов с данными по изменению параметров сверхпроводящего перехода позволило объяснить наблюдаемое увеличение  $T_c$ , а также подтвердить вывод об определяющем влиянии состояния кислородной подсистемы на зонный спектр и сверхпроводящие свойства системы  $\text{YBa}_2\text{Cu}_3\text{O}_y$ . На основе анализа специфики влияния кальция на поведение коэффициента термоэдс сделан вывод о том, что кальций вызывает появление в зонном спектре  $\text{YBa}_2\text{Cu}_3\text{O}_y$  дополнительных особенностей.

Важным вопросом, возникающим при изучении ВТСП-материалов, является выявление роли и механизма влияния различных структурных элементов элементарной ячейки на сверхпроводящие и другие свойства этих соединений. Влияние неизовалентных замещений на различные свойства  $\text{YBa}_2\text{Cu}_3\text{O}_y$  широко обсуждается в литературе. Наряду с подавлением критической температуры ( $T_c$ ) общей особенностью этих замещений является влияние на содержание кислорода и его распределение по различным позициям в элементарной ячейке. Так, при частичном замещении меди различными 3d-металлами (такими, например, как Fe, Co, Al) по мере роста содержания примеси происходит увеличение содержания кислорода, превышающее его стехиометрическое значение, сопровождающееся разупорядочением кислородной подрешетки [1–3]. Аналогичные процессы происходят при замещении бария лантаном [4,5]. В отличие от этих случаев, в которых валентность ионов примеси больше валентности замещаемого катиона решетки, при замещении трехвалентного иттрия двухвалентным кальцием рост содержания последнего приводит наряду с падением величины  $T_c$  к уменьшению содержания кислорода [6,7]. Аналогичное влияние

на число кислородных вакансий кальций оказывает и при одновременном двойном замещении в  $\text{YBa}_2\text{Cu}_3\text{O}_y$ :  $\text{Ca} \rightarrow \text{Y}$ , с одной стороны, и  $\text{Co} \rightarrow \text{Cu}$  [8],  $\text{Al} \rightarrow \text{Cu}$  [9],  $\text{La} \rightarrow \text{Ba}$  [10] — с другой. В то же время, в этих случаях критическая температура в образцах с двойным замещением оказывается выше, чем при том же уровне соответствующих одиночных замещений. Этот факт объясняется в литературе восстановлением под воздействием  $\text{Ca}$  оптимальной для  $\text{YBa}_2\text{Cu}_3\text{O}_y$  концентрации дырок, нарушенной другим замещением. Однако влияние увеличения содержания кальция в системах с двойным легированием при фиксированном содержании второй примеси неизучено. Остается открытым и вопрос о структуре зонного спектра в таких соединениях, зависимости его параметров от состава образцов и их связи со сверхпроводящими свойствами.

Как показали наши исследования, данные о транспортных свойствах ВТСП-соединений могут быть источником такой информации. Интерпретация экспериментальных результатов на основе предложенной нами модели узкой зоны позволяет не только объяснить все основные особенности поведения кинетических коэффициентов в иттриевых ВТСП, но и определить значения некоторых параметров электронной системы для каждого конкретного образца на основании количественного сравнения экспериментальных и расчетных зависимостей  $S(T)$  [11]. Это дало возможность проследить за трансформацией зонного спектра  $\text{YBa}_2\text{Cu}_3\text{O}_y$  при изменении содержания кислорода [11] и при различных катионных замещениях [12, 13], а также установить взаимосвязь между изменениями его параметров и критической температуры.

В связи с вышеизложенным целью данной работы является исследование влияния дополнительного легирования кальцием на транспортные и сверхпроводящие свойства систем  $\text{YBA}_{1.5}\text{La}_{0.5}\text{Cu}_3\text{O}_y$  и  $\text{YBa}_2\text{Cu}_{2.75}\text{Co}_{0.25}\text{O}_y$ , а также выявление характера происходящих при этом изменений в структуре зонного спектра.

## 1. Образцы

Образцы были приготовлены методом твердофазного синтеза из оксидов  $\text{Y}$ ,  $\text{Cu}$ ,  $\text{Co}$  и карбонатов  $\text{Ba}$  и  $\text{La}$  марки ОСЧ. После спекания при  $T = 950^\circ\text{C}$  образцы прессовались в таблетки, и проводились три отжига при  $T = 920\text{--}950^\circ\text{C}$  с промежуточными перемолами. Заключительный этап обработки проводился при  $T = 450^\circ\text{C}$  в проточном кислороде, после чего образцы медленно охлаждались до комнатной температуры. Рентгенофазовый анализ показал, что все исследованные образцы являются однофазными. Содержание кислорода определялось методом йодометрического титрования с точностью  $\pm 0.01$  и показано в таблице.

## 2. Экспериментальные результаты и обсуждение

Были исследованы температурные зависимости удельного сопротивления и коэффициента термоэдс в диапазоне температур  $T = T_c \div 300\text{ K}$  по методике, описанной в [12].

Составы образцов и некоторые результаты электрофизических измерений приведены в таблице. Рост содержания кальция в системах

Содержание кислорода, параметры сверхпроводящего перехода и значение коэффициента термоэдс в исследованных образцах

$x$	$y$	$T_c^m$ , К	$T_c^0$ , К	$\Delta T$ , К	$S(300)$ , $\mu\text{V/K}$
1	2	3	4	5	6
$\text{Y}_{1-x}\text{Ca}_x\text{Ba}_{1.5}\text{La}_{0.5}\text{Cu}_3\text{O}_y$					
0.0	7.22	36.6	32.0	17.2	40.5
0.1	7.19	57.9	51.7	14.2	21.0
0.2	7.13	73.0	67.9	9.7	19.2
0.3	7.08	80.6	78.9	5.6	3.3
0.4	7.01	82.4	80.2	4.2	6.2
0.5	6.96	82.5	78.9	2.1	4.2
$\text{Y}_{1-x}\text{Ca}_x\text{Ba}_2\text{Cu}_{2.75}\text{Co}_{0.25}\text{O}_y$					
0.00	7.06	66.2	60.2	19.1	33.0
0.05	7.06	75.1	67.9	8.6	29.0
0.10	7.03	76.9	71.9	8.0	19.5
0.15	7.01	80.6	77.9	5.4	10.8
0.20	7.01	82.2	78.6	4.0	7.7
0.25	6.98	82.4	80.6	3.6	5.1

$\text{Y}_{1-x}\text{Ca}_x\text{Ba}_{1.5}\text{La}_{0.5}\text{Cu}_3\text{O}_y$  и  $\text{Y}_{1-x}\text{Ca}_x\text{Ba}_2\text{Cu}_{2.75}\text{Co}_{0.25}\text{O}_y$  приводит к уменьшению содержания кислорода в образцах (что для данных систем означает приближение к стехиометрическому по кислороду составу). При этом величина критической температуры  $T_c$  последовательно увеличивается. Наиболее резко это увеличение происходит в области малых  $x$ , с увеличением содержания кальция зависимость  $T_c(x)$  выходит на насыщение на уровне  $T_c \approx 82$  К в обеих исследованных сериях. Отметим, что рост величины  $T_c$  сопровождается уменьшением ширины сверхпроводящего перехода  $\Delta T$ . Абсолютное значение  $S$  при  $T = 300$  К с ростом  $x$  уменьшается, причем наиболее сильно в области малых содержаний Ca. Все зависимости  $\rho(T)$  имеют типичный для системы Y-Ba-Cu-O линейный вид, в то время как для зависимостей  $S(T)$  при достаточно больших значениях  $x$  характерно появление нескольких необычных особенностей. Как известно, для  $\text{YBa}_2\text{Cu}_3\text{O}_y$  с различным содержанием кислорода или иными катионными замещениями характерно постепенное уменьшение наклона зависимости  $S(T)$  с ростом температуры, а при небольших отклонениях от стехиометрических составов в области  $T \approx 300$  К  $S \approx \text{const}$ . В то же время из рис. 1, 2 видно, что в исследованных образцах наряду с сохранением ярко выраженного максимума в области низких температур при достаточно большом уровне легирования кальцием на зависимостях  $S(T)$  появляется участок линейного падения коэффициента термоэдс во всем измеряемом диапазоне температур выше этого максимума. Это позволяет предположить, что легирование кальцием приводит к появлению в зонном спектре  $\text{YBa}_2\text{Cu}_3\text{O}_y$  некоторых дополнительных особенностей.

Полученные результаты были проанализированы на основе предложенной нами ранее феноменологической модели электронного транс-

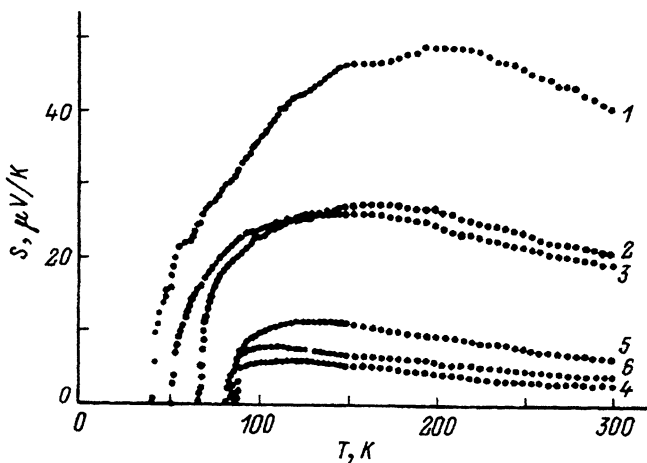


Рис. 1. Температурные зависимости коэффициента термоэдс в образцах  $Y_{1-x}Ca_xBa_{1.5}La_{0.5}Cu_3O_y$ .  
 $x$ : 1 — 0, 2 — 0.1, 3 — 0.2, 4 — 0.3, 5 — 0.4, 6 — 0.5.

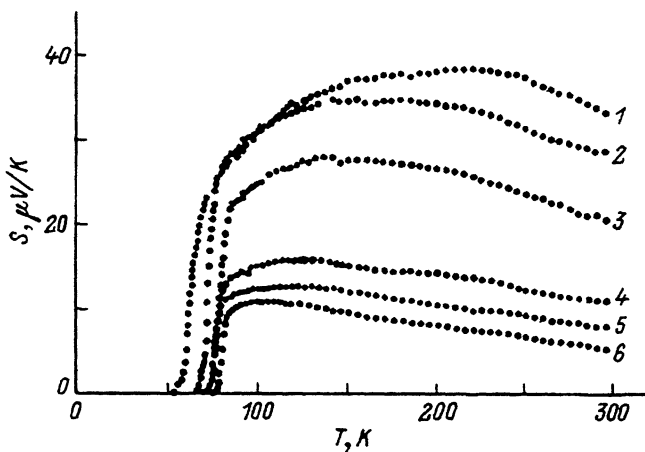


Рис. 2. Температурные зависимости коэффициента термоэдс в образцах  $Y_{1-x}Ca_xBa_2Cu_{2.75}Co_{0.25}O_y$ .  
 $x$ : 1 — 0, 2 — 0.05, 3 — 0.1, 4 — 0.15, 5 — 0.2, 6 — 0.25.

порта в случае узкой проводящей зоны [11]. Основными параметрами модели являются степень заполнения зоны электронами ( $F$ ), полная эффективная ширина проводящей зоны ( $W_D$ ) и эффективная ширина интервала делокализованных состояний ( $W_\sigma$ ). Полученные нами ранее данные свидетельствуют о том, что уменьшение содержания кислорода, а также увеличение содержания неизовалентных примесей (Fe и Co, замещающих Cu [12], или Eu и La, замещающих Ba [13,14]) вызывают расширение проводящей зоны и рост степени ее заполнения электронами. Одновременно падает относительная доля делокализованных состояний, о чем свидетельствует уменьшение отношения  $W_\sigma/W_D$ .

Наши предыдущие исследования показали, что проводящая зона в  $YBa_2Cu_3O_y$  является почти симметричной. Однако в рамках симме-

тричной модели трудно добиться хорошего количественного согласия экспериментальных и расчетных зависимостей  $S(T)$  во всей области линейного падения  $S$ , характерного для образцов с большим содержанием кальция. С другой стороны, полученные зависимости качественно подобны  $S(T)$  для висмутовых ВТСП, которые нам удалось удовлетворительно описать, вводя в модель дополнительное предположение о незначительной асимметрии проводящей зоны [15]. Моделирование этой асимметрии мы осуществляли путем введения смещения по энергии, равного  $bW_D$  (где  $b$  — параметр асимметрии), между центрами прямоугольников, аппроксимирующих функции плотности состояний и дифференциальной проводимости. При таком подходе, используя формулы из [11], можно по-прежнему получить аналитические выражения для кинетических коэффициентов. В рамках асимметричной модели нам удалось добиться хорошего количественного согласия экспериментальных и расчетных зависимостей  $S(T)$  и определить параметры зонного спектра для исследованных в данной работе образцов. При этом необходимо отметить, что рост  $x$  приводит, согласно нашим расчетам, к появлению и последовательному увеличению асимметрии проводящей зоны. Причем зависимость параметра асимметрии  $b$  от содержания Ca линейна и одинакова для обеих серий в диапазоне  $0 < x < 0.3$  ( $b \simeq -0.1x$ ), что позволяет связать этот эффект с влиянием непосредственно кальция. Полученный результат свидетельствует в пользу предположения о том, что кальций вносит дополнительные состояния в верхнюю половину проводящей зоны, что и приводит к ее асимметрии.

На рис. 3, 4 представлены зависимости параметров зонного спектра, рассчитанных в рамках асимметричной модели, от содержания кальция для образцов  $Y_{1-x}Ca_xBa_{1.5}La_{0.5}Cu_3O_y$  и  $Y_{1-x}Ca_xBa_2Cu_{2.75}Co_{0.25}O_y$ . Рост  $x$  в обеих сериях ведет к уменьшению эффективной ширины зоны, сопровождающему увеличением доли локализованных состояний, и падению степени заполнения зоны электронами. Таким образом, тенденции в изменении как  $T_c$ , так и параметров зонного спектра с ростом  $x$  в исследованных сериях образцов противоположны тем, которые проявляются при замещениях в катионной подрешетке элементами с большей валентностью и росте дефицита кислорода. В то же время связь между сверхпроводящими свойствами и структурой зонного спектра остается неизменной. Уменьшение ширины зоны и приближение ее заполнения к половинному ведут, согласно нашей модели, к росту значения плотности состояний на уровне Ферми  $D(E_F)$ , что и может являться основной причиной наблюдаемого увеличения критической температуры. В свою очередь причиной уменьшения ширины зоны и доли локализованных состояний может быть, согласно модели андерсоновской локализации, изменение состояния кислородной подрешетки, которая с ростом содержания Ca в исследованных системах становится более упорядоченной. По-видимому, кальций компенсирует воздействие на кислородную подсистему, оказываемое ионами  $Co^{3+}$  или  $La^{3+}$ . Наличие последних вызывает существенное разупорядочение кислородной подсистемы, поскольку приводит к появлению в решетке как ячеек, обогащенных кислородом (в которых место Cu или Ba занимает Co или La соответственно), так и ячеек, им обедненных. При увеличении содержания кальция его компенсирующее воздействие увеличива-

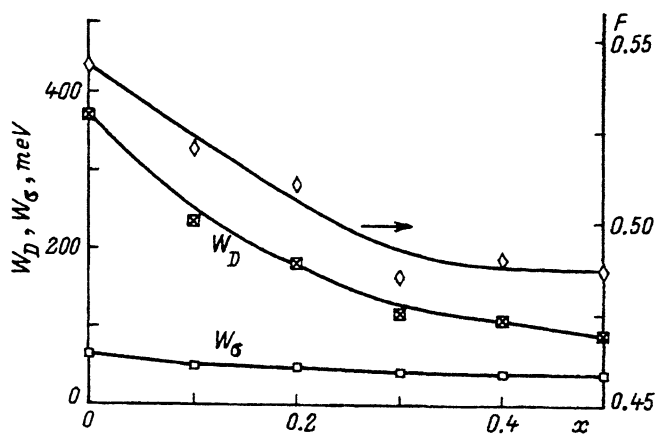


Рис. 3. Зависимости параметров зонного спектра от содержания кальция в образцах  $Y_{1-x}Ca_xBa_{1.5}La_{0.5}Cu_3O_y$ .

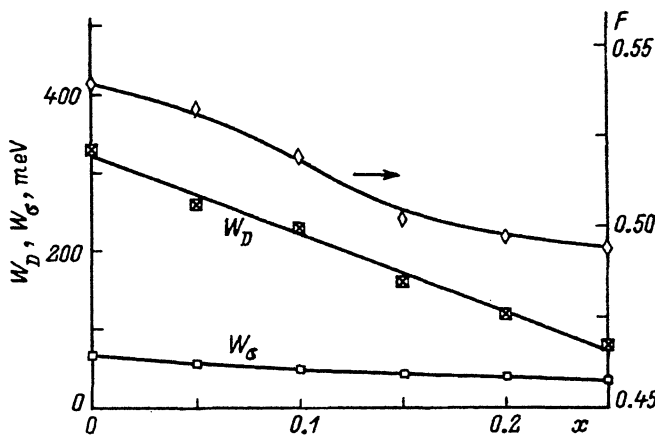


Рис. 4. Зависимости параметров зонного спектра от содержания кальция в образцах  $Y_{1-x}Ca_xBa_2Cu_{2.75}Co_{0.25}O_y$ .

ется, в результате чего в обеих сериях в образцах с максимальным значением  $x$  достигаются наибольшая степень упорядочения кислородной подсистемы и, как следствие этого, оптимальные значения параметров зонного спектра и максимальные величины критической температуры. Несколько меньшие значения последней в исследованных образцах по сравнению с  $YBa_2Cu_3O_y$  при  $y \approx 7$ , как и незначительное отклонение значений  $F$  и  $W$  от характерных для близких к стехиометрическим составам, объясняются, по-видимому, дополнительным воздействием кальция на структуру зонного спектра и свойства системы носителей заряда, приводящим в том числе и к уменьшению величины  $D(E_F)$ . Заметим, что об увеличении с ростом  $x$  степени упорядочения в решетке помимо приближения кислородного индекса к стехиометрическому значению косвенно свидетельствует и наблюдаемое уменьшение ширины сверхпроводящего перехода (см. таблицу).

Таким образом, экспериментальные результаты, полученные нами в ходе экспериментального исследования транспортных свойств систем  $Y_{1-x}Ca_xBa_{1.5}La_{0.5}Cu_3O_y$  и  $Y_{1-x}Ca_xBa_2Cu_{2.75}Co_{0.25}O_y$ , и их анализ на основе модели узкой зоны позволяют сделать следующие выводы.

1) С ростом содержания кальция в исследованных системах уменьшается содержание кислорода, возрастает значение  $T_c$ , падает значение коэффициента термоэдс и на его температурных зависимостях появляется участок линейного падения в диапазоне выше температуры максимума на кривой  $S(T)$ .

2) Увеличение содержания кальция приводит к сужению проводящей зоны, увеличению доли делокализованных состояний и уменьшению степени заполнения зоны электронами, т.е. к приближению значений этих параметров к оптимальным для стехиометрического  $YBa_2Cu_3O_y$ . Это может являться основной причиной наблюдаемого увеличения критической температуры и подтверждает существование корреляции между параметрами зонного спектра и сверхпроводящими свойствами  $YBa_2Cu_3O_y$ .

3) Анализ тенденций в изменении параметров зонного спектра и критической температуры в сопоставлении с характером трансформации кислородной подсистемы подтверждает сделанный ранее вывод об определяющем влиянии состояния кислородной подрешетки на зонные параметры и сверхпроводящие свойства  $YBa_2Cu_3O_y$ .

4) Рост содержания Ca в исследованных образцах приводит к появлению и последовательному увеличению асимметрии проводящей зоны, что может указывать на то, что Ca вносит в нее дополнительные состояния.

#### Список литературы

- [1] Tarascon J.M., Barboux P., Miceli P.F., Greene L.H., Hull G.W., Eibshutz M., Sunshine S.A. Phys. Rev. **B37**, 13, 7458 (1988).
- [2] Xu Y., Sabatini R.L., Moodenbaugh A.R., Zhu Y., Shyu S.-G., Suenaga M., Dennis K.W., McCallum R.W. Physica C **169**, 2, 205 (1990).
- [3] Zhou X.Y., Zhang Q.R., Zhang H. Phys. Stat. Sol. (a) **119**, 2, K145 (1990).
- [4] Bazuev G.V., Krylov K.R., Ponomarev A.I., Tsidilkovskii V.I., Tsidilkovskii I.M., Charikova T.B. Phys. Stat. Sol. (a) **115**, 1, 267 (1989).
- [5] Liang R., Iton M., Nakamura T. Physica C **157**, 1, 83 (1989).
- [6] Chandrahood M.R., Mulla I.S., Gorwadkar S.M., Sinha A.P.B. Appl. Phys. Lett. **56**, 2, 183 (1990).
- [7] Felner I. Thermochim. Acta. **174**, 41 (1991).
- [8] Zhao Y., He Y., Zhang H., Zuge X., Tang X. J. Phys.: Cond. Matter. **4**, 2263 (1992).
- [9] Zhao Y., Liu H.K., Dou S.X. Physica C **179**, 1/2, 207 (1991).
- [10] Slater P.R., Greaves C. Supercond. Sci. Technol. **5**, 205 (1992).
- [11] Гасумянц В.Э., Казъмин С.А., Кайданов В.И., Смирнов В.И., Байков Ю.М., Степанов Ю.П. СФХТ **4**, 7, 1280 (1991).
- [12] Владими尔斯кая Е.В., Гасумянц В.Э. ФТТ **36**, 4, 1002 (1994).
- [13] Gasumyants V.E., Kaidanov V.I., Vladimirskaia E.V. Chin. J. Phys. **31**, 6-II, 999 (1993).
- [14] Gasumyants V.E., Vladimirskaia E.V., Patrina I.B. Proc. of IV World Congress on Supercond. Orlando, Florida (1994), in press.
- [15] Агеев Н.В., Гасумянц В.Е., Кайданов В.И., Казъмин С.А. Физ. и техн. высок. давл. **3**, 1, 9 (1993).